

УДК 532.2

## РАВНОВЕСНЫЕ КОНФИГУРАЦИИ ПОВЕРХНОСТИ ИДЕАЛЬНО ПРОВОДЯЩЕЙ ЖИДКОСТИ В МАГНИТНОМ ПОЛЕ ПРЯМОЛИНЕЙНОГО ПРОВОДНИКА С ТОКОМ

Н. М. Зубарев, О. В. Зубарева

Институт электрофизики УрО РАН, 620016 Екатеринбург  
E-mail: nick@iep.uran.ru

Рассмотрена задача о возможных равновесных конфигурациях свободной поверхности идеально проводящей жидкости, деформируемой неоднородным магнитным полем. С использованием метода конформных отображений получено семейство точных решений задачи; равновесие достигается за счет баланса капиллярного и магнитного давлений. Показано, что согласно этим решениям с увеличением силы тока амплитуда деформации поверхности увеличивается, при этом лунка трансформируется в двумерный пузырь, охватывающий линейный проводник.

Ключевые слова: свободная поверхность, проводящая жидкость, магнитное поле, линейный проводник с током, точные решения.

**Введение.** Влияние магнитного поля приводит к деформации свободной поверхности помещенной в него жидкости. При этом система может находиться в равновесном состоянии в случае взаимной компенсации магнитных, капиллярных и гравитационных сил.

Во многих работах, посвященных анализу формы поверхности жидкостей, находящихся во внешнем магнитном поле, рассматриваются ферромагнитные жидкости (см., например, [1, 2]). Наиболее сложны для теоретического исследования случаи, когда внешнее магнитное поле является сильнонеоднородным. В работе [3] получены выражения для формы поверхности магнитной жидкости, находящейся в поле вертикальной токонесящей проволоочки. Статические деформации свободной поверхности слоя жидкости конечной глубины в магнитном поле прямолинейного проводника с током, горизонтально расположенного под слоем жидкости, рассчитывались в работе [4]. В [5] в пренебрежении капиллярными эффектами получены аналитические решения задач определения формы поверхности намагничивающейся жидкости, находящейся в поле прямолинейного вертикального проводника, а также в поле витка спиралевидного проводника с током (имелось также сильное однородное магнитное поле, создающее в жидкости состояние насыщения). В работе [6] анализировались осесимметричные формы равновесия поверхности жидкости в азимутальном магнитном поле с учетом поверхностного натяжения.

Другим направлением исследований является анализ влияния магнитного поля на форму поверхности проводящих жидкостей. Как известно, высокочастотное магнитное поле проникает лишь в тонкий поверхностный слой проводника. Толщина скин-слоя оценивается по формуле  $\lambda \sim (\omega\sigma\mu\mu_0)^{-1/2}$  ( $\omega$  — частота переменного магнитного поля;  $\sigma$  — удельная

---

Работа выполнена при финансовой поддержке Российского фонда фундаментальных исследований (код проекта 10-08-96016-урал) и в рамках программы Президиума РАН “Фундаментальные проблемы нелинейной динамики” (код проекта УрО РАН 12-П-2-1023).

проводимость жидкости;  $\mu_0$  — магнитная постоянная;  $\mu$  — относительная магнитная проницаемость жидкости). Если толщина слоя  $\lambda$  мала по сравнению с характерным размером структур на поверхности, то можно считать, что поле не проникает в жидкость. В результате взаимодействия магнитного поля и индуцированного им поверхностного электрического тока на поверхности жидкости возникает магнитное давление. При временах, значительно превышающих период осцилляций, задачу можно считать квазистационарной (заметим, что взаимодействие переменного поля с проводящей жидкостью при учете конечности толщины скин-слоя и периода осцилляций может приводить к возникновению и развитию ряда специфических неустойчивостей [7]). При определенных условиях капиллярное и осредненное по времени магнитное давления могут уравновешивать друг друга. Задача нахождения соответствующих равновесных конфигураций формально эквивалентна задаче об идеально проводящей жидкости ( $\sigma \rightarrow \infty$ ), находящейся в постоянном магнитном поле, не проникающем внутрь среды.

В случае плоской геометрии задачи, когда все величины зависят лишь от двух координат, анализ равновесных форм поверхности проводящих жидкостей в магнитном поле существенно упрощается. Это обусловлено использованием метода конформных отображений, который позволяет свести задачу о распределении поля вне жидкости с неизвестной формой поверхности к задаче с поверхностью, сечением которой является прямая либо окружность. Подобный подход использовался при анализе конфигураций жидкометаллических колонн в высокочастотном магнитном поле [8]. В пренебрежении капиллярными силами получены аналитические решения задач определения формы поверхности; при учете капиллярности решения строились численно. В работе [9] численно получены решения задач определения формы столба проводящей жидкости, находящегося в поле системы проводников с током. Целью исследований [8, 9] являлся анализ возможности управления формой поверхности расплавленного металла в ряде металлургических процессов. Результаты соответствующих экспериментов приведены, например, в работе [10].

В настоящей работе найдены точные аналитические решения задач определения равновесных конфигураций изначально плоской поверхности идеально проводящей жидкости, возникающих под влиянием внешнего постоянного магнитного поля. Магнитное поле  $\mathbf{B}$  представляет собой суперпозицию однородного горизонтального магнитного поля и неоднородного поля бесконечной прямой нити с током, расположенной параллельно поверхности жидкости. Как и в работах [8, 9], предполагается, что поле не проникает внутрь жидкости. Заметим, что в рамках этой магнитостатической задачи можно рассматривать также воздействие высокочастотного поля на жидкость с конечной проводимостью.

Согласно полученным решениям в результате конкуренции магнитных и капиллярных сил под нитью с током возникает двумерная лунка, глубина которой определяется величиной протекающего тока. При значительной силе тока лунка трансформируется в цилиндрическую полость, охватывающую проводник. По-видимому, найденные решения могут быть использованы при определении поверхностного натяжения расплавленного металла по геометрии формирующейся лунки.

Следует отметить, что использованный в настоящей работе подход к построению точных стационарных решений задач определения формы поверхности идеально проводящей жидкости во внешнем магнитном поле, основанный на конформном отображении области над жидкостью в параметрическую полуплоскость, аналогичен подходу, применявшемуся при рассмотрении ряда электростатических задач. Аналогия между магнитостатическими и электростатическими задачами обсуждалась, например, в работе [9]. В обоих случаях поле не проникает в идеально проводящую среду, при этом магнитное поле над жидкостью будет направлено по касательной к поверхности, а электрическое поле — по нормали к ней. Основное различие между этими задачами заключается в том, что магнит-

ные и электростатические силы направлены в противоположные стороны. Это обуславливает существенные различия форм поверхности жидкости, находящейся в магнитном и электрическом полях. Для равновесных конфигураций поверхности проводящей жидкости во внешнем электрическом поле найдено большое количество точных решений [11–13]. Наиболее близкая к рассматриваемой геометрия задачи исследовалась в работах [14, 15], в которых аналогом токонесущей прямолинейной нити являлся нитевидный электрод.

**1. Исходные уравнения.** Пусть бесконечно длинный тонкий прямолинейный проводник с током расположен параллельно свободной поверхности жидкости на расстоянии  $L$  от нее. Величину электрического тока, протекающего через проводник, обозначим через  $I$ . Введем прямоугольную систему координат  $(x, y, z)$ , ось  $z$  которой совпадает с линейным проводником, а ось  $y$  направлена по нормали к невозмущенной поверхности жидкости. Предположим, что задача обладает плоской симметрией, т. е. все величины зависят лишь от переменных  $x$  и  $y$  (в этом случае поверхность жидкости инвариантна по отношению к сдвигу вдоль проводника). Тогда можно считать, что векторный потенциал магнитного поля  $\mathbf{B} = \nabla \times \mathbf{A}$  имеет только одну  $z$ -компоненту:  $\mathbf{A} = \{0, 0, \psi(x, y)\}$ . Распределение магнитного поля определяется единственной скалярной функцией  $\psi$ :

$$\mathbf{B} = \{\psi_y, -\psi_x, 0\}.$$

В магнитостатике вектор магнитной индукции  $\mathbf{B}$  удовлетворяет уравнению

$$\nabla \times \mathbf{B} = \mu_0 \mathbf{j},$$

где  $\mathbf{j}$  — плотность электрического тока. Учитывая, что в рассматриваемом случае  $\mathbf{j} = \{0, 0, I\delta(x, y)\}$ , где  $\delta(x, y)$  — дельта-функция, и выражая напряженность магнитного поля через  $z$ -компоненту векторного потенциала, получаем двумерное уравнение Пуассона

$$\psi_{xx} + \psi_{yy} = -\mu_0 I \delta(x, y).$$

В случае идеального проводника это уравнение следует решать совместно с условием  $\psi = 0$  на поверхности (т. е. магнитное поле направлено по касательной к границе), а также с условием на бесконечном удалении от нити с током

$$\psi \rightarrow By, \quad x^2 + y^2 \rightarrow \infty. \quad (1)$$

Последнее условие соответствует наличию внешнего однородного магнитного поля с абсолютным значением индукции, равным  $B$ .

Наконец, форма свободной поверхности жидкости определяется условием баланса магнитного и капиллярного давлений

$$(\nabla\psi)^2 / (2\mu_0) = T\kappa + P_0, \quad (2)$$

где  $T$  — поверхностное натяжение;  $\kappa$  — локальная кривизна поверхности;  $P_0 \equiv B^2 / (2\mu_0)$  — разность давлений внутри и вне жидкости. В случае если форма поверхности задается параметрическими выражениями  $x = X(u)$ ,  $y = Y(u)$  ( $u$  — параметр, монотонно возрастающий при положительном направлении обхода области вне жидкости), ее кривизна определяется формулой

$$\kappa = \frac{Y_{uu}X_u - X_{uu}Y_u}{(X_u^2 + Y_u^2)^{3/2}}. \quad (3)$$

Выше отмечено, что с математической точки зрения рассматриваемая задача близка к электростатической задаче об определении возможных равновесных конфигураций поверхности проводящей жидкости во внешнем электрическом поле. Основное различие заключается в знаке перед выражением в левой части условия (2): электростатическое давление входит в аналогичное уравнение с противоположным знаком.

Введем безразмерные обозначения, выполнив замены

$$x \rightarrow x \cdot 2\mu_0TB^{-2}, \quad y \rightarrow y \cdot 2\mu_0TB^{-2}, \quad \psi \rightarrow \psi \cdot 2\mu_0TB^{-1}.$$

При этом вместо силы тока  $I$  и расстояния  $L$  будем использовать безразмерные комплексы

$$J = -IB/(2T), \quad l = LB^2/(2\mu_0T).$$

Для решений, которые будут получены ниже, справедливо неравенство  $J > 0$ , что соответствует направлению вектора плотности тока, противоположному направлению оси  $z$ .

**2. Конформные переменные.** Введем в рассмотрение комплексный потенциал магнитного поля  $\Phi = -\psi + i\varphi$ , где функция  $\varphi$  является гармонически сопряженной с  $z$ -компонентой векторного потенциала магнитного поля  $\psi$ . Комплексный потенциал  $\Phi$  является аналитической функцией комплексной переменной  $w = x + iy$  всюду в области над жидкостью, за исключением точки  $w = 0$ , в которой находится токнесущая нить. В соответствии с (1) потенциал  $\Phi$  удовлетворяет следующему условию на бесконечности:

$$\Phi \rightarrow iw, \quad |w| \rightarrow \infty. \quad (4)$$

Условие баланса сил на свободной поверхности жидкости (2) можно записать в виде

$$\left| \frac{d\Phi}{dw} \right|^2 = \varkappa + 1. \quad (5)$$

Далее выполняется конформное отображение области над жидкостью в верхнюю полуплоскость комплексной параметрической плоскости  $\xi$ , удовлетворяющее условию

$$w \rightarrow \xi, \quad |\xi| \rightarrow \infty. \quad (6)$$

Пусть  $\xi = u + iv$ . Тогда форма поверхности жидкости задается условием  $v = 0$ . Будем считать, что в новых переменных проводник расположен в точке с координатами  $u = 0, v = a$ . В результате задача нахождения комплексного потенциала с условием на неизвестной свободной поверхности жидкости  $\text{Re } \Phi = 0$  сводится к задаче с аналогичным условием на прямой  $v = 0$ . Решение данной задачи, полученное с использованием метода изображений, имеет вид

$$\Phi(\xi) = i\xi - 2J \ln(\xi - ia) + 2J \ln(\xi + ia). \quad (7)$$

Заметим, что это выражение удовлетворяет условию на бесконечности

$$\Phi \rightarrow i\xi, \quad |\xi| \rightarrow \infty,$$

являющемуся следствием условий (4), (6).

Неизвестным остается обратное отображение  $w = w(\xi)$ . Функция  $w(\xi)$  является аналитической в полуплоскости  $v \geq 0$ . На бесконечности для этой функции справедливо условие (6), а на границе  $v = 0$  — условие баланса давлений (5), которое в конформных переменных принимает вид

$$\left| \frac{d\Phi}{d\xi} \right|^2 = \frac{\text{Im}(W_{uu}\bar{W}_u)}{|W_u|} + |W_u|^2. \quad (8)$$

При выводе соотношений (8) использовалась формула (3) для кривизны, в которой форма поверхности задается параметрическим соотношением

$$w = w(\xi)|_{v=0} \equiv W(u) = X(u) + iY(u).$$

Кроме того, учитывалось, что на поверхности выполняется условие

$$\left| \frac{d\Phi}{dw} \right| = \left| \frac{d\Phi}{d\xi} \right| |W_u|^{-1}.$$

При введении вспомогательной аналитической функции  $g(\xi) \equiv \sqrt{w\xi}$  задача существенно упрощается. Введем также комплексную функцию  $G(u) \equiv g(\xi)|_{v=0}$ , которая задает значения функции  $g$  на границе  $v = 0$ . Выражение для свободной поверхности  $w = W(u)$  находится из дифференциального уравнения:

$$\frac{dZ}{du} = G^2. \quad (9)$$

С использованием функции  $G$  условие баланса сил (8) с учетом (7) записывается в виде

$$\left(1 - \frac{4Ja}{a^2 + u^2}\right)^2 = 2 \operatorname{Im}(\bar{G}G_u) + (G\bar{G})^2. \quad (10)$$

Из (6) следует, что на бесконечности условие для  $g(\xi)$  имеет вид

$$g \rightarrow 1, \quad |\xi| \rightarrow \infty. \quad (11)$$

Таким образом, получена задача о нахождении аналитической в полуплоскости  $v \geq 0$  функции  $g(\xi)$ , удовлетворяющей граничным условиям (10), (11).

**3. Построение решений.** Зависимость  $g(\xi)$  будем искать в виде

$$g(\xi) = 1 - i\gamma/(\xi + ia), \quad (12)$$

где  $\gamma$  — вещественный параметр. В соответствии с этим представлением функция  $g(\xi)$  имеет особенность в точке  $\xi = -ia$ , т. е. в нижней полуплоскости комплексной переменной  $\xi$ . В верхней полуплоскости эта функция является аналитической и удовлетворяет условию на бесконечности (11).

Заметим, что в общем случае зависимость  $g(\xi)$  можно представить в виде бесконечного ряда по целым степеням  $\xi + ia$ . Если удерживать конечное число слагаемых, то можно найти лишь частные решения задачи (т. е. параметры задачи  $l$  и  $J$  не будут произвольными).

В терминах функции  $G(u)$  представление (12) соответствует выражению

$$G(u) = 1 - i\gamma/(u + ia), \quad (13)$$

подставляя которое в граничное условие (10) получаем уравнение

$$1 - \frac{8aJ}{a^2 + u^2} + \frac{16a^2J^2}{(a^2 + u^2)^2} = \frac{2\gamma}{a^2 + u^2} - \frac{2\gamma a(2a - \gamma)}{(a^2 + u^2)^2} + 1 - \frac{2\gamma(2a - \gamma)}{a^2 + u^2} + \frac{\gamma^2(2a - \gamma)^2}{(a^2 + u^2)^2}.$$

Приравнивая коэффициенты при полюсах одинаковой кратности, имеем два алгебраических уравнения, связывающие параметры  $a$ ,  $J$ ,  $\gamma$ :

$$16a^2J^2 = 16a^3J + 2a\gamma^2 + \gamma^4 - 8a^3\gamma + 8a^3\gamma^2 - 4a\gamma^3,$$

$$16a^2J^2 = -2\gamma a(2a - \gamma) + \gamma^2(2a - \gamma)^2.$$

Эти уравнения определяют однопараметрическое семейство решений рассматриваемой задачи. В качестве параметра целесообразно выбрать величину  $\gamma$ , характеризующую степень деформации поверхности жидкости. Выражая расстояние  $a$  между проводником и жидкостью (в конформных переменных) и безразмерную силу тока  $J$  через параметр  $\gamma$ , находим

$$a(\gamma) = \frac{3}{4}\gamma + \frac{1}{4}\sqrt{\gamma^2 - 4\gamma}, \quad J(\gamma) = \frac{\gamma}{2} - \frac{\gamma(\gamma + 1)}{4a(\gamma)}. \quad (14)$$

Для того чтобы расстояние  $a$  было вещественной положительной величиной (иначе нарушается аналитичность функции  $g$ ), значение параметра  $\gamma$  должно находиться в диапазоне

$-1/2 < \gamma < 0$  (случай  $\gamma \leq 4$  не рассматривается, поскольку он соответствует самопересекающимся решениям для формы поверхности).

Определим форму свободной поверхности жидкости, соответствующую решению вида (12). Подставляя (13) в (9) и интегрируя полученное выражение по  $u$ , получаем выражение для функции  $W(u)$ , определяющей форму поверхности:

$$W(u) = W_0 + u - 2i\gamma \ln(u + ia) + \gamma^2/(u + ia). \quad (15)$$

Соотношение (15) соответствует следующему выражению для функции  $w(\xi)$ :

$$w(\xi) = W_0 + \xi - 2i\gamma \ln(\xi + ia) + \gamma^2/(\xi + ia). \quad (16)$$

Постоянную интегрирования  $W_0$  необходимо выбрать таким образом, чтобы выполнялось условие  $w(ia) = 0$ , согласно которому в исходных переменных проводник находится в начале координат. В результате находим

$$W_0 = -ia + i\gamma^2/(2a) + 2i\gamma \ln(2a) - \pi\gamma.$$

Определим связь между расстоянием  $l$  от проводника до точки на поверхности жидкости (по вертикали) в исходных переменных  $(x, y)$  и соответствующим расстоянием  $a$  в конформных переменных  $(u, v)$ . Так как этой точке соответствует координата  $\xi = 0$ , то с учетом (16) получаем

$$l = -\operatorname{Im} w(0) = a - 2\gamma \ln 2 + \gamma^2/(2a). \quad (17)$$

**4. Анализ решений.** Проведем анализ равновесных конфигураций поверхности жидкости, соответствующих точному решению (15). Разделяя вещественную и мнимую части в (15), получаем

$$\begin{aligned} X(u) &= \operatorname{Re} W(u) = u - 2\gamma \operatorname{arctg}(u/a) + \gamma^2 u/(u^2 + a^2), \\ Y(u) &= \operatorname{Im} W(u) = -\gamma \ln(u^2 + a^2) - \gamma^2 a/(u^2 + a^2) + Y_0, \end{aligned} \quad (18)$$

где  $Y_0 = \operatorname{Im} W_0 = -a + \gamma^2/(2a) + 2\gamma \ln(2a)$ .

На рис. 1 показаны соответствующие выражениям (18) формы свободной поверхности жидкости при различных значениях параметра  $\gamma$  в интервале  $-1/2 < \gamma < 0$ .

При  $\gamma \rightarrow 0$  из (14), (17) в основном порядке разложения по  $\gamma$  для параметров  $a, J, l$  получаем

$$a = \sqrt{|\gamma|}/4 + O(\gamma), \quad J = \sqrt{|\gamma|} + O(\gamma), \quad l = \sqrt{|\gamma|}/4 + O(\gamma).$$

Иными словами, величины  $a, J, l$  стремятся к нулю по закону  $\sqrt{|\gamma|}$ . При этом влияние магнитного поля линейного проводника с током становится пренебрежимо малым и равновесная поверхность превращается в плоскость.

С увеличением абсолютного значения параметра  $\gamma$  характерные углы наклона увеличиваются. В пределе  $\gamma \rightarrow -1/2$  область, занимаемая жидкостью, под действием магнитных сил стремится замкнуться вокруг проводника, образовав двумерный пузырь, соединенный "шейкой" с внешней областью (см. рис. 1). Для этого случая найдем разложения величин  $a, J, l$  по малому параметру  $\varepsilon = \gamma + 1/2$ :

$$a = \frac{\varepsilon}{3} + O(\varepsilon^2), \quad J = \frac{3}{16\varepsilon} - \frac{1}{6} + O(\varepsilon), \quad l = \frac{3}{8\varepsilon} - \frac{4}{3} + \ln 2 + O(\varepsilon).$$

Таким образом, при  $\gamma \rightarrow -1/2$   $a \rightarrow 0, J \rightarrow \infty, l \rightarrow \infty$ , т. е. сила тока и расстояние от поверхности до нити с током в координатах  $(x, y)$  будут неограниченно возрастать, а аналогичное расстояние в координатах  $(u, v)$  — убывать.

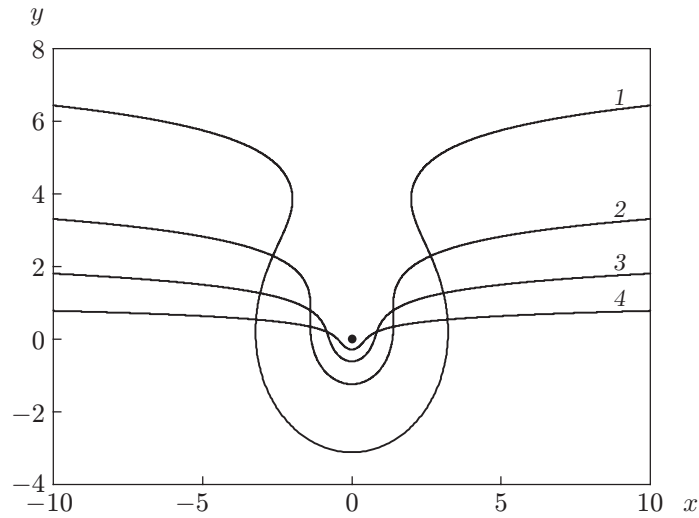


Рис. 1. Равновесные формы свободной поверхности жидкости, находящейся во внешнем неоднородном магнитном поле, при различных значениях  $\gamma$ ,  $J$ :  
 1 —  $\gamma = -0,4$ ,  $J \approx 1,69$ ; 2 —  $\gamma = -0,3$ ,  $J \approx 0,74$ ; 3 —  $\gamma = -0,2$ ,  $J \approx 0,41$ ; 4 —  $\gamma = -0,1$ ,  $J \approx 0,21$ ; точка — положение проводника с током

Найдем ширину “шейки” и радиус пузыря при  $\gamma \rightarrow -1/2$ . В области “шейки” справедливо неравенство  $|u| \gg a$ . Форму “шейки” можно найти из (18), разлагая все параметры по  $\varepsilon$ :

$$x = X(u) = u + (4u)^{-1} \pm \pi/2 + O(\varepsilon), \quad y = Y(u) = Y_0 + \ln |u| + O(\varepsilon) \quad (19)$$

(верхний знак соответствует  $u > 0$ , нижний —  $u < 0$ ). При этом для постоянной  $Y_0$  справедливо выражение

$$Y_0 = 3/(8\varepsilon) - \ln \varepsilon - 4/3 + \ln(3/2) + O(\varepsilon).$$

Введем вспомогательную переменную

$$\tilde{y} = y - Y_0 + \ln 2,$$

что соответствует переносу начала координат в середину “шейки”. Исключая переменную  $u$  из уравнений (19), получаем выражение для формы поверхности вблизи “шейки”

$$x = \pm(\operatorname{ch} \tilde{y} + \pi/2) + O(\varepsilon),$$

из которого следует, что полуширина “шейки”  $r_0$  соответствует значению  $x$  при  $\tilde{y} = 0$ :

$$r_0 \equiv x|_{\tilde{y}=0} = 1 + \pi/2 + O(\varepsilon).$$

Определим радиус пузыря  $R_0$ . При  $\gamma \rightarrow -1/2$  параметр  $u$  внутри пузыря имеет тот же порядок малости, что и величина  $a$ , а следовательно, и  $\varepsilon$ . Введем в формулах (18) вспомогательный параметр  $\tilde{u} = u/\varepsilon$ , значения которого внутри пузыря будут конечными. Разлагая полученные выражения по малому параметру  $\varepsilon$ , находим координаты поверхности пузыря в основном порядке разложения:

$$x = X(\varepsilon\tilde{u}) \approx \frac{9\tilde{u}}{4\varepsilon(9\tilde{u}^2 + 1)}, \quad y = Y(\varepsilon\tilde{u}) \approx -\frac{3}{4\varepsilon(9\tilde{u}^2 + 1)} + \frac{3}{8\varepsilon}.$$

Нетрудно показать, что эти уравнения задают окружность с центром в начале координат и радиусом, приблизительно равным  $l$ . Действительно,

$$X^2 + Y^2 \approx R_0^2, \quad R_0 = 3/(8\varepsilon) \approx l.$$

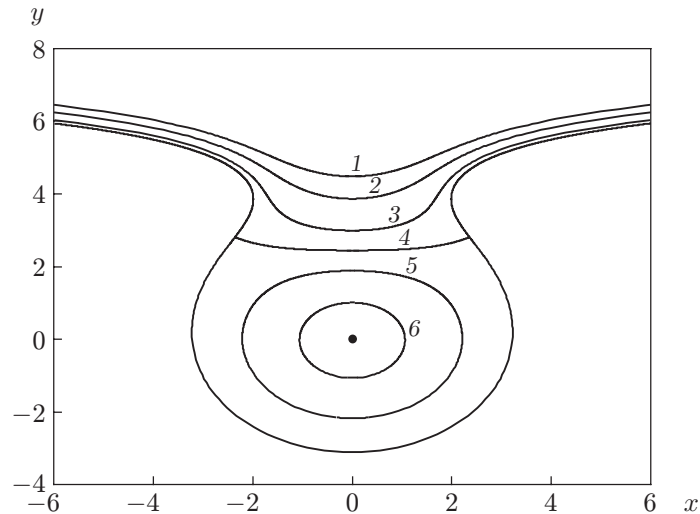


Рис. 2. Распределение магнитного поля над поверхностью жидкости при  $\gamma = -0,4$ :  
 1 —  $\psi = -0,5$ ; 2 —  $\psi = -0,3$ ; 3 —  $\psi = -0,1$ ; 4 —  $\psi = 0$ ; 5 —  $\psi = 0,1$ ; 6 —  $\psi = 0,3$ ; точка —  
 положение проводника с током

Таким образом, при  $\gamma \rightarrow -1/2$  радиус пузыря стремится к бесконечности, в то время как ширина “шейки” остается постоянной. Как следствие отношение полуширины “шейки”  $r_0$  к радиусу пузыря  $R_0$  будет стремиться к нулю в соответствии с выражением

$$r_0/R_0 = \varepsilon(8 + 4\pi)/3 + O(\varepsilon^2).$$

Рассмотрим распределение магнитного поля над жидкостью для полученных решений. Силовые линии поля определяются условием  $\psi = \text{const}$ . Из (7) следует, что потенциал  $\psi$  в переменных  $u$  и  $v$  задается выражением

$$\psi = v + J \ln((v - a)^2 + u^2) - J \ln((v + a)^2 + u^2).$$

Отсюда найдем зависимость  $u(\psi, v)$ , которая в явном виде описывает геометрию силовых линий магнитного поля в параметрической плоскости  $(u, v)$ :

$$u(\psi, v) = \pm \left\{ \left( e^{(\psi-v)/J} - 1 \right)^{-1} \left[ (v - a)^2 - e^{(\psi-v)/J} (v + a)^2 \right] \right\}^{1/2}.$$

Выполняя замену  $\xi \rightarrow u(\psi, v) + iv$  в отображении (16) и затем разделяя вещественную и мнимую части, получаем

$$x = \text{Re } W(u(\psi, v) + iv), \quad y = \text{Im } W(u(\psi, v) + iv).$$

Эти выражения в параметрической форме (роль параметра играет величина  $v$ ) задают семейство силовых линий магнитного поля в плоскости  $(x, y)$ . На рис. 2 показаны характерные силовые линии для равновесной конфигурации поверхности жидкости при  $\gamma = -0,4$ , соответствующие значениям  $\psi = -0,5; -0,3; -0,1; 0; 0,1; 0,3$ . Заметим, что условию  $\psi = 0$  соответствует как свободная поверхность жидкости, так и сепаратриса, разделяющая области с различной топологией магнитного поля.

**Заключение.** В работе получено однопараметрическое семейство точных решений для равновесных конфигураций свободной поверхности жидкости в магнитном поле параллельного ей бесконечно длинного прямолинейного тонкого проводника с током. Жидкость считалась идеальным проводником. Это соответствует тому, что силовые линии магнитного поля не проникают в жидкость, а направлены по касательной к поверхности. Для



жидкости с конечной проводимостью аналогичная ситуация реализуется в высокочастотном поле. В этом случае толщина скин-слоя значительно меньше характерного масштаба деформаций поверхности жидкости.

Под влиянием неоднородного магнитного поля в жидкости появляется двумерная лунка (поверхность инвариантна по отношению к сдвигу вдоль оси  $z$ ), глубина которой увеличивается с ростом протекающего по проводнику электрического тока. При достаточно больших токах образуется пузырь: жидкость охватывает проводник, формируя цилиндрическую полость, связанную с внешней областью “шейкой”, относительная ширина которой уменьшается с увеличением силы тока. В пределе бесконечного тока отношение ширины “шейки” к радиусу пузыря обращается в нуль.

Полученные решения можно рассматривать как нелинейную суперпозицию двух тривиальных точных решений, соответствующих условию  $I = 0$  либо  $B = 0$ . В первом случае внешнее магнитное поле является однородным и равновесная конфигурация поверхности представляет собой плоскость. Во втором случае формальным решением задачи является цилиндрическая полость круглого сечения, охватывающая проводник с током. При этом в плоскости  $(x, y)$  границей является либо прямая, либо окружность с центром в точке, соответствующей положению линейного проводника. Распределение поля над жидкостью имеет вид первого тривиального решения при  $\psi < 0$  и второго тривиального решения при  $\psi > 0$ ; при этом условие  $\psi = 0$  задает сепаратрису.

Следует отметить, что использованный для построения решений подход можно обобщить на случай произвольного числа параллельных токонесящих нитевидных проводников. Для одного проводника зависимость  $G(u)$ , задаваемая выражением (13), содержит один простой полюс. Для  $N$  проводников эта зависимость будет содержать  $N$  полюсов.

## ЛИТЕРАТУРА

1. **Rosensweig R. E.** Magnetic fluids // *Ann. Rev. Fluid Mech.* 1987. V. 19. P. 437–463.
2. **Шлиомис М. И.** Магнитные жидкости // *Успехи физ. наук.* 1974. Т. 112, вып. 3. С. 427–458.
3. **Krueger D. A., Jones T. B.** Hydrostatic profile of ferrofluid around a vertical current-carrying wire // *Phys. Fluids.* 1974. V. 17. P. 1831–1833.
4. **Gotoh K., Murakami Y., Ohkita T.** Deformation of the free surface of horizontal magnetic fluid layer by current-induced magnetic fields // *Fluid Dynam. Res.* 1992. V. 10. P. 1–9.
5. **Берковский Б. М., Орлов Л. П.** К исследованию формы свободной поверхности и аналога пинч-эффекта в намагничивающихся жидкостях // *Магнит. гидродинамика.* 1973. Вып. 4. С. 38–44.
6. **Борисов И. Д.** О равновесных формах поверхности намагничивающейся жидкости // *Магнит. гидродинамика.* 1976. Вып. 4. С. 11–18.
7. **Fautrelle Y., Sneyd A. D.** Instability of a plane conducting free surface submitted to an alternating magnetic field // *J. Fluid Mech.* 1998. V. 375. P. 65–83.
8. **Shercliff J. A.** Magnetic shaping of molten metal columns // *Proc. Roy. Soc. London. Ser. A.* 1981. V. 375. P. 455–473.
9. **Blyth M. G., Vanden-Broeck J.-M.** Magnetic shaping of a liquid metal column and deformation of a bubble in a vortex flow // *SIAM J. Appl. Math.* 2005. V. 66. P. 174–186.
10. **Etay J., Gagnoud A., Garnier M.** Le problème de frontière libre en lévitation électromagnétique // *J. Mech. Theor. Appl.* 1986. V. 5. P. 911–934.
11. **Зубарев Н. М.** Точное решение для стационарного профиля поверхности жидкого металла во внешнем электрическом поле // *Письма в ЖТФ.* 1999. Т. 25, вып. 22. С. 79–83.

12. **Zubarev N. M., Zubareva O. V.** Exact solutions for equilibrium configurations of charged conducting liquid jets // Phys. Rev. E. 2005. V. 71. 016307.
13. **Зубарев Н. М., Зубарева О. В.** Равновесные конфигурации поверхности проводящей жидкости в неоднородном внешнем электрическом поле // Журн. техн. физики. 2011. Т. 81, вып. 1. С. 42–52.
14. **Зубарев Н. М., Зубарева О. В., Иванов П. К.** Точные решения для равновесных конфигураций поверхности проводящей жидкости в электрическом поле заряженной прямой нити // Письма в ЖТФ. 2009. Т. 35, вып. 20. С. 84–88.
15. **Zubarev N. M., Zubareva O. V.** Exact solutions for the shape of a two-dimensional conducting liquid drop in a non-uniform electric field // Physica D. 2012. V. 241. P. 921–928.

*Поступила в редакцию 15/V 2012 г.*

---